
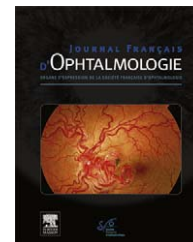




Disponible en ligne sur
 ScienceDirect
www.sciencedirect.com

Elsevier Masson France

www.em-consulte.com



IMAGE

Ostéome choroïdien compliqué de néovascularisation : aspects en OCT *spectral-domain*

Osseous choristoma of the choroid complicated by neovascularization: Spectral-domain OCT features

R.-T.-J. Hassani^a, C. Terrada^a, M. Puech^b,
S. Razavi^c, N. Massamba^a, E. Souied^{a,*}

^a Service d'ophtalmologie, centre hospitalier intercommunal de Créteil, 40, avenue de Verdun, 94010 Créteil cedex, France

^b Centre explore vision, 12, rue croix des petits-champs, 75001 Paris, France

^c Centre hospitalier régional de Tours, 37044 Tours cedex 9, France

Disponible sur Internet le 5 avril 2011

L'ostéome choroïdien est une tumeur bénigne rare, ossifiante, d'étiologie inconnue décrite pour la première fois par Gass en 1978. Il survient le plus souvent chez des femmes jeunes [1]. Dans la série la plus large décrivant les aspects OCT de l'ostéome choroïdien, Shields et al. ont retrouvé dans les zones décalcifiées une rétine interne normale, asso-

ciés à des altérations de la rétine externe [2] (Fig. 1). Dans les zones calcifiées ils ont noté une structure rétinienne normale [2]. La décalcification est associée à une mauvaise acuité visuelle [2,3]. L'OCT *Spectral-Domain* permet d'apporter des précisions d'ordre fonctionnel et pronostique [2] (Fig. 2–8).

* Auteur correspondant.

Adresse e-mail : eric.souied@chicreteil.fr (E. Souied).

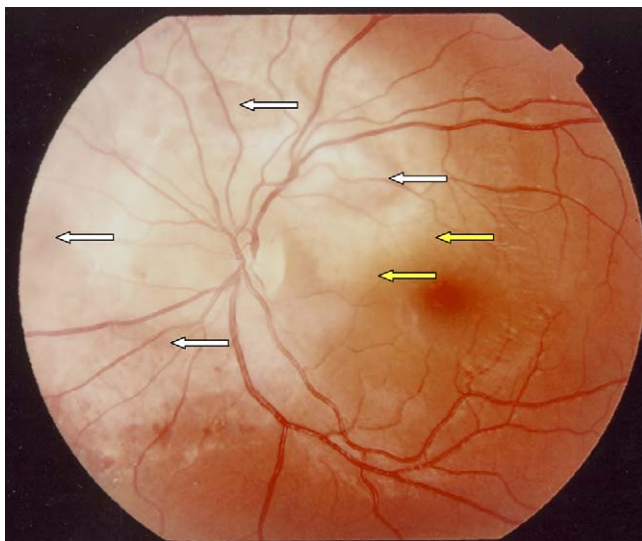


Figure 1. Rétinophotographie couleur de l'œil gauche d'une jeune femme de 16 ans qui consulte pour un flou visuel. La meilleure acuité visuelle corrigée est de 7/10P3. Mise en évidence d'une lésion péripapillaire jaunâtre surélevée avec des contours géographiques, d'environ sept diamètres papillaires, bordée par des hémorragies rétinienne profondes en nasal inférieur. Les zones décalcifiées sont cliniquement caractérisées par une couleur jaune gris hétérogène associé à des altérations de l'épithélium pigmentaire (flèches blanches), alors que les zones calcifiées paraissent plus orangées et plus homogènes (flèches jaunes) [2].

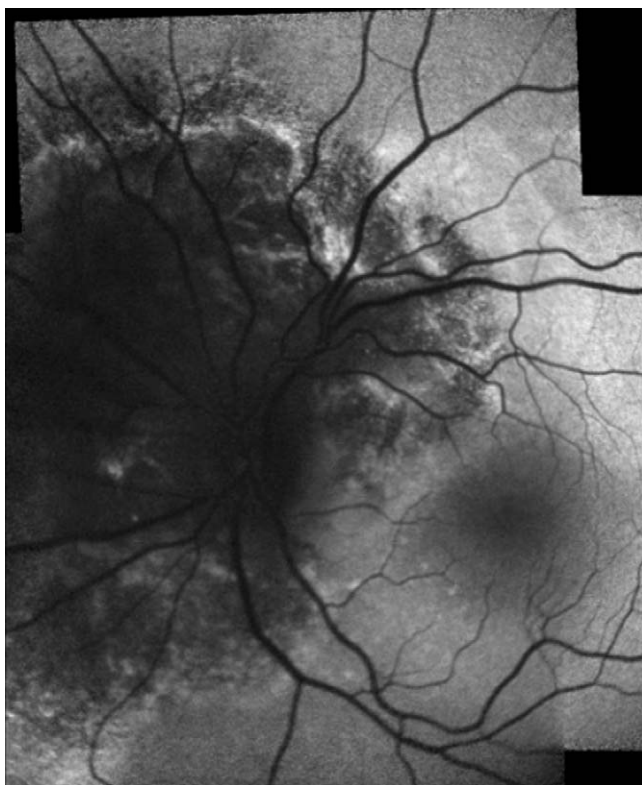


Figure 2. Cliché en autofluorescence de l'œil gauche : présence d'une large zone d'hypoautofluorescence avec une bordure hyperautofluorescente.

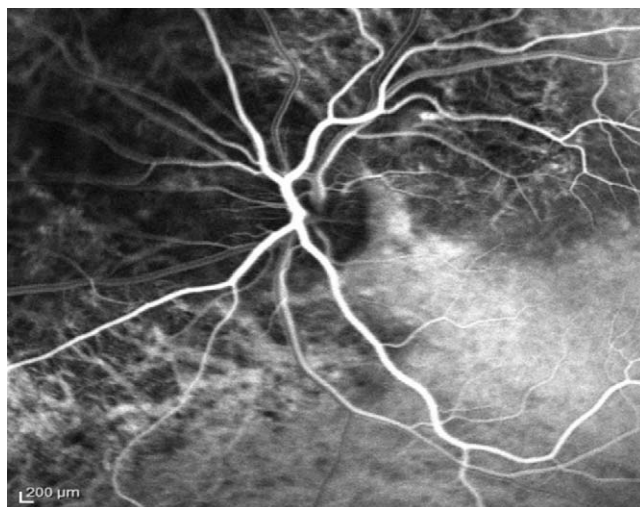


Figure 3. Temps précoce de l'angiographie à la fluorescéine de l'œil gauche (HRA, Heidelberg) : présence d'une hypofluorescence péripapillaire avec des points hyperfluorescents irréguliers en son sein.



Figure 4. Temps artérioveineux de l'angiographie à la fluorescéine de l'œil gauche : diffusion en motte prédominant en suspapillaire en faveur d'une complication néovasculaire partiellement fibrosée.

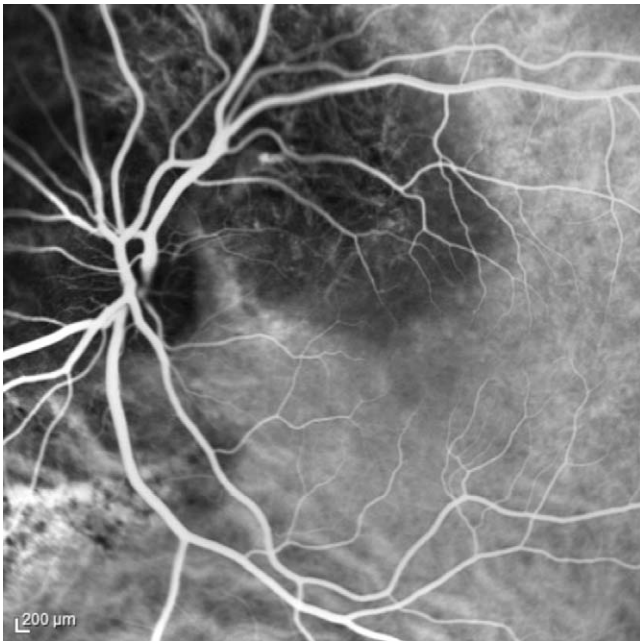


Figure 5. Temps précoces de l'angiographie au vert d'indocyanine de l'œil gauche : mise en évidence d'une hypofluorescence péripapillaire.

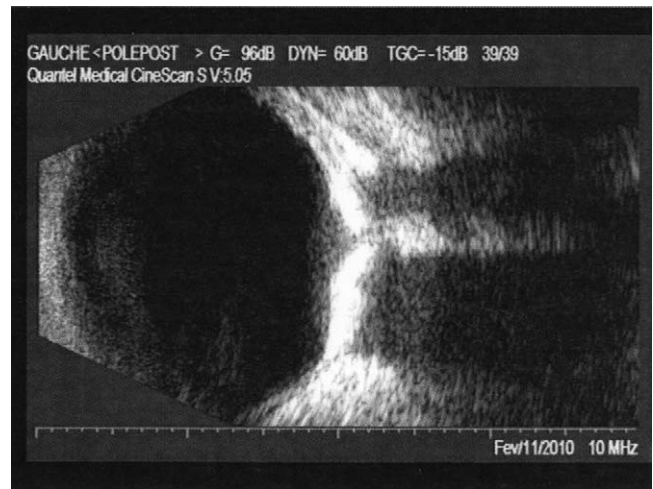


Figure 7. Échographie oculaire gauche en mode B : surface hyper-échogène péripapillaire avec masquage postérieur total en faveur du diagnostic d'ostéome choroïdien.

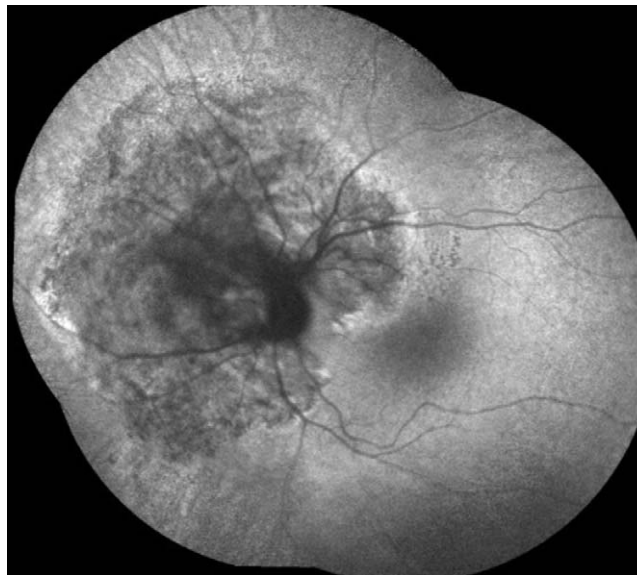


Figure 6. Temps tardifs de l'angiographie au vert d'indocyanine de l'œil gauche : coloration péripapillaire irrégulière tardive.

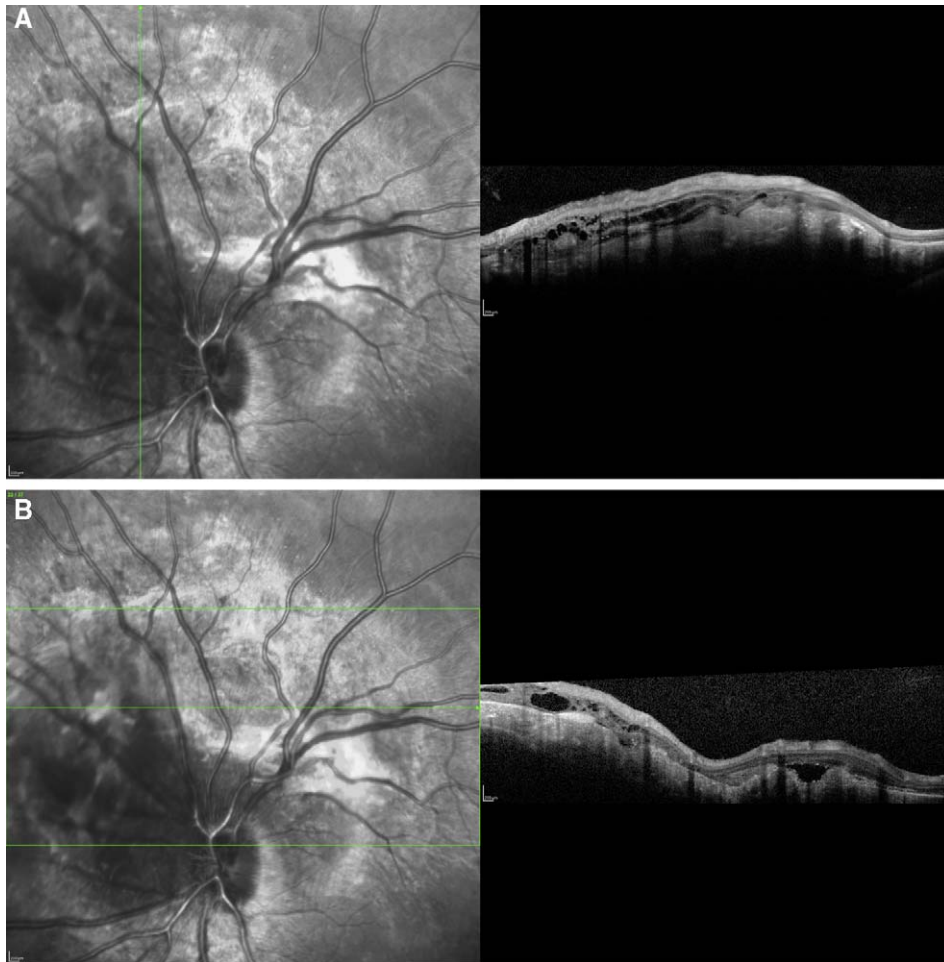


Figure 8. OCT *Spectral-Domain* (Spectralis, Heidelberg). A. Coupe verticale en nasal de la papille de l'œil gauche montrant une désorganisation des couches rétinienne externes, avec un renforcement postérieur hyperréfectif et des logettes cystoïdes hyporéfectives. B. Coupe horizontale suspapillaire de l'œil gauche montrant une désorganisation des couches rétinienne, un décollement séreux rétinien et des logettes cystoïdes hyporéfectifs.

Déclaration d'intérêts

Aucun.

Références

- [1] En J, Lee L, Gass JM. Choroidal osteoma: evidence of progression and decalcification over 20 years. *Clin Exp Optom* 2006;89: 90–4.
- [2] Shields CL, Perez B, Materin MA, Mehta S, Shields JA. Optical coherence tomography of choroidal osteoma in 22 cases: evidence for photoreceptor atrophy over the decalcified portion of the tumor. *Ophthalmology* 2007;114: e53–8.
- [3] Shields CL, Sun H, Demirci H, Shields JA. Factors predictive of tumor growth. Tumor decalcification, choroidal neovascularization, and visual outcome in 74 eyes with choroidal osteoma. *Arch Ophthalmol* 2005;123:1658–66.